

以下の問(1)～(4)に答えよ。

なお、原子番号は ${}_{24}\text{Cr}$, ${}_{25}\text{Mn}$, ${}_{26}\text{Fe}$, ${}_{27}\text{Co}$, ${}_{28}\text{Ni}$, ${}_{29}\text{Cu}$ である。

(1) 化学組成の分析に用いる以下二つの機器分析法について、問(a), (b)に答えよ。

- ・誘導結合プラズマ発光分析 (ICP-AES)
- ・蛍光 X 線分析 (XRF)

(a) 測定原理をそれぞれ 100 字程度で説明せよ。

(b) それぞれの手法特有の長所を挙げよ。

(2) Cr, Mn, Fe における中性のカルボニル (CO) 錯体について、問(c), (d)に答えよ。

(c) $\text{Cr}^{(0)}$, $\text{Mn}^{(0)}$, $\text{Fe}^{(0)}$ の CO 錯体は全て 18 電子則を満たす。それぞれの分子式を記せ。

(d) (c)における CO 錯体の立体構造を、図 1 の例にならってそれぞれ示せ。

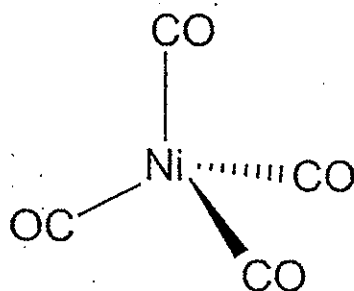


図 1. $\text{Ni}(\text{CO})_4$ 錯体の立体構造。

(3) Fe と Co の八面体錯体について、以下の問(e)～(h)に答えよ。

(e) 5 重に縮退する遷移金属の 3d 軌道 (d_{xy} , d_{yz} , d_{zx} , $d_{x^2-y^2}$, d_{z^2}) は、正八面体配位の結晶場により、 e_g 軌道と t_{2g} 軌道の二つに分裂する。このとき、 Fe^{3+} と Co^{3+} の取りうる d 電子配置を全て図示せよ。なお、d 電子数に注意し、各電子のスピン向きを矢印(\uparrow , \downarrow)で区別すること。

(f) K_3FeF_6 , $\text{K}_3[\text{Fe}(\text{CN})_6]$, $\text{K}_3[\text{Co}(\text{CN})_6]$ の三つの錯体塩の磁気特性を調べたところ、遷移金属イオンあたりの常磁性磁気モーメントが A: $0.0 \mu_B$, B: $2.3 \mu_B$, C: $5.9 \mu_B$ であった。なお、 μ_B はボーア磁子である。どの錯体塩が A, B, C に該当するか同定せよ。また、判断した根拠を 150 字程度で説明せよ。

(g) $[\text{Fe}(\text{NCS})(\text{H}_2\text{O})_5]^{2+}$ を含む溶液に NaF 粉末を加えたところ、 NCS^- と F^- の間で配位子交換が起こった。この配位子交換反応が進行する理由を Hard and Soft Acids and Bases (HSAB) 則にもとづいて 50 字程度で説明せよ。

- (h) (g)における配位子交換反応が完了すると、溶液の色が血赤色からほぼ無色へと変化した。この色の変化の理由を、次の三つの語句を用いて 150 字程度で説明せよ。

[語句]

- ・ LMCT 遷移 (注: 「LMCT」は Ligand-to-Metal Charge Transfer の略)
- ・ d-d 遷移
- ・ 電気陰性度

- (4) Cu^{2+} の錯体・結晶について以下の問(i), (j)に答えよ。

- (i) $[\text{Cu}(\text{en})_2]^{2+}$ (en: ethane-1,2-diamine) は $[\text{Cu}(\text{NH}_3)_4]^{2+}$ と類似した平面四角形の配位構造を持つ。この二つの錯体を比較すると、 $[\text{Cu}(\text{en})_2]^{2+}$ の方が高い安定性を示す。この安定性の違いを生じる効果の名称を記せ。また、 $[\text{Cu}(\text{en})_2]^{2+}$ の方が安定となる理由を熱力学的な観点から 50 字程度で説明せよ。
- (j) 八面体配位の基本骨格を有する Cu^{2+} の酸化物やフッ化物の結晶では、周期表で隣接する Fe^{2+} , Co^{2+} , Ni^{2+} と比較して、対称性の低い結晶構造をとることが多い。その理由を、 Cu^{2+} の八面体配位の電子配置にもとづいて 100 字程度で記せ。なお、図を用いて説明してもよい。図に使用する文字は文字数には含めないものとする。

Answer the following problems (1) through (4).

The atomic numbers are ^{24}Cr , ^{25}Mn , ^{26}Fe , ^{27}Co , ^{28}Ni , and ^{29}Cu .

- (1) Answer the problems (a) and (b) regarding the following two methods for chemical composition analysis.

- Inductively coupled plasma atomic emission spectroscopy (ICP-AES)
- X-ray fluorescence spectroscopy (XRF)

- (a) Explain the measurement principles in approximately 50 words each.
(b) List the unique advantage of each.

- (2) Answer the problems (c) and (d) regarding neutral Cr, Mn, and Fe carbonyl (CO) complexes.

- (c) All CO complexes of $\text{Cr}^{(0)}$, $\text{Mn}^{(0)}$ and $\text{Fe}^{(0)}$ satisfy the 18-electron rule. Show each molecular formula.
(d) Illustrate the three-dimensional structures of each CO complex in (c), following the example in Figure 1.

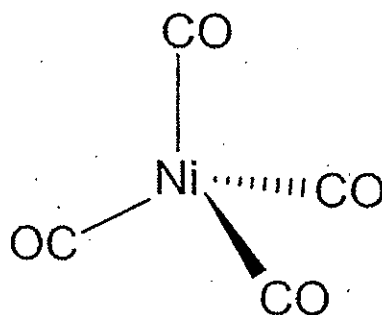


Figure 1. Three-dimensional structure of the $\text{Ni}(\text{CO})_4$ complex.

- (3) Answer the problems (e) through (h) regarding the octahedral complexes of Fe and Co.

- (e) Under the crystal field of a regular octahedral coordination, the 5-fold degeneracy of transition metal 3d orbitals (d_{xy} , d_{yz} , d_{zx} , $d_{x^2-y^2}$, d_{z^2}) is lifted, splitting into two sets: e_g orbitals and t_{2g} orbitals. Illustrate all possible d-electron configurations for Fe^{3+} and Co^{3+} , paying attention to the number of d-electrons and distinguishing the spin direction of each electron with arrows (\uparrow , \downarrow).
- (f) When investigating the magnetic properties of K_3FeF_6 , $\text{K}_3[\text{Fe}(\text{CN})_6]$, and $\text{K}_3[\text{Co}(\text{CN})_6]$, the paramagnetic moments per transition metal ion were found to be A: $0.0 \mu_B$, B: $2.3 \mu_B$, and C: $5.9 \mu_B$, where μ_B is the Bohr magneton. Identify which complexes correspond to A, B, and C. Furthermore, explain the reason behind your determination in approximately 75 words.
- (g) When NaF powder was added to a solution containing $[\text{Fe}(\text{NCS})(\text{H}_2\text{O})_5]^{2+}$, ligand exchange occurred between NCS^- and F^- . Based on the hard and soft acids and bases (HSAB) theory, explain in approximately 30 words why this exchange reaction between NCS^- and F^- preferably proceeds.

- (h) After the ligand exchange reaction described in (g) was completed, the color of the solution changed from blood-red to nearly colorless. Explain the reason for this color change using the following three terms in approximately 75 words.

[Terms]

- LMCT transition (Here, "LMCT" stands for Ligand-to-Metal Charge Transfer.)
- d-d transition
- Electronegativity

- (4) Answer the problems (i) and (j) regarding the Cu^{2+} complexes and crystals.

- (i) $[\text{Cu}(\text{en})_2]^{2+}$ (en: ethane-1,2-diamine) exhibits a planar square coordination structure similar to $[\text{Cu}(\text{NH}_3)_4]^{2+}$. Comparing the two complexes, $[\text{Cu}(\text{en})_2]^{2+}$ is more stable. Answer the name of the effect that causes this stability difference. Furthermore, explain why $[\text{Cu}(\text{en})_2]^{2+}$ is more stable thermodynamically in approximately 30 words.
- (j) Compared to Fe^{2+} , Co^{2+} , and Ni^{2+} , which are adjacent in the periodic table, Cu^{2+} oxides or fluorides with an octahedral coordination geometry often exhibit lower symmetry crystal structures. Explain the reason based on the electron configuration of Cu^{2+} octahedral coordination in approximately 50 words. You may use figures for explanation and words used in the figures are not counted towards the word limit.